

## آسیب پذیری لرزه ای شهر یزد

وحید رشیدی نیا<sup>۱</sup>، سید علی رضویان امرئی<sup>\*۲</sup>، غلامرضا قدرتی امیری<sup>۳</sup>

۱- کارشناس ارشد مهندسی زلزله، گروه عمران، واحد شهرکرد، دانشگاه آزاد اسلامی، شهرکرد، ایران

۲- استادیار، گروه عمران، دانشگاه پیام نور، تهران، ایران

۳- استاد، دانشکده مهندسی عمران، دانشگاه علم و صنعت ایران، تهران، ایران

### چکیده

با توجه به واقع شدن ایران بر روی یکی از دو کمریند زلزله خیز جهان و وجود گسل های فراوان، وقوع زلزله در فلات ایران امری طبیعی است. هدف از این مطالعه بررسی آسیب پذیری شهر یزد در اثر زلزله طرح استاندارد ۲۸۰۰ ایران می باشد. در این مطالعه آسیب پذیری کل سازه ها با توجه به نوع خاک منطقه از روش HAZUS باست آمده و براساس آن آسیب پذیری ساخت و ساز انواع سازه ها در مناطق مختلف بررسی می گردد و براساس سطوح آسیب سازه میزان خسارت و تلفات جانی برای هر محلوده به تفکیک محاسبه می شود. در نهایت با توجه به نتایج مشخص گردید که مناطق یک و دو بدلیل تراکم جمعیتی و فرسوده بودن اکثر سازه ها بیشترین تلفات جانی را داشته و منطقه ۳ بیشترین خسارات مالی و سازه ای را داشته و آسیب پذیر می باشند.

**کلمات کلیدی:** آسیب پذیری لرزه ای، منحنی شکنندگی، یزد، زلزله

\*نویسنده مسئول: سید علی رضویان امرئی

پست الکترونیکی: ali\_razavian@yahoo.com

تاریخ دریافت مقاله: ۱۳۹۴/۰۳/۰۲، تاریخ پذیرش مقاله: ۱۳۹۴/۰۹/۰۹

## ۱- مقدمه

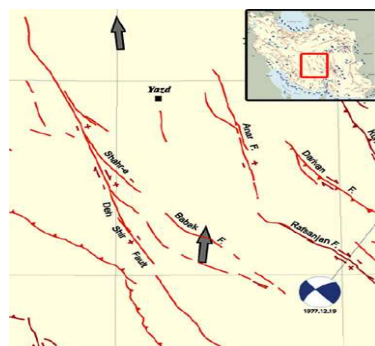
بسیاری از مطالعات تحلیل خطرپذیری بعد از زلزله سان فرناندو (۱۹۷۱) آغاز گردید. تمرکز اصلی این مطالعات بر تلفات جانی بود. در سالهای اخیر تمرکز اصلی بر روی راهها، سیستمهای ارتباطی و شریانهای حیاتی می‌باشد. نرم افزار HAZUS توسط آژانس مدیریت بحران فدرال در راستای پیش‌بینی آسیب پس از زلزله معرفی گردید که آسیب‌ها در یک شهر و یا یک منطقه را بدست می‌آورد [۱]. با توجه به اینکه نرم افزار مذکور برای آمریکا خصوصی سازی شده و امکان استفاده از آن در مناطق دیگر وجود نداشت محققان در کشورهای مختلف بر آن شدند که مشابه آن را برای مناطق خود پیاده سازی کنند. در این خصوص نرم افزارهای مختلفی از جمله SELENA [۲] معرفی شد. در این مطالعه آسیب پذیری شهر یزد در اثر زلزله طرح استاندارد ۲۸۰۰ براساس این نرم افزار مورد بررسی قرار می‌گیرد. استان یزد به ویژه شهر یزد با برخورداری از ارزش‌های معماری و بتنه شهرهای حاشیه کویر و نیز از آنجا که مجموعه‌ای از آثار باستانی و بنای تاریخی را در خود جای داده است، در بین شهرهای ایران حائز اهمیت است. قرارگیری این استان در بین راههای ارتباطی شمال و جنوب کشور و امکانات زیربنایی، موقعیت ویژه‌ای به این استان بخشیده است. در محدوده شهر یزد گسل‌های دهشیر، یزد، شهربابک و انار واقع شده است (شکل ۱). سوابق لرزه خیزی شهر یزد نشان دهنده آنست که تا کنون زلزله‌ای بیشتر از ۵/۵ ریشتر در این شهر رخ نداده است. میزان جمعیت شهر در جدول ۱ و مساحت سازه‌های موجود به تفکیک جنس سازه در جدول ۲ ارائه شده است. شهر یزد به ۴ منطقه و ۴ محله تقسیم شده است.

جدول ۱: مساحت ساختمان‌های موجود در شهر یزد بر حسب مترمربع (سال ۱۳۹۰) [۴]

منطقه	زیربنای سازه‌های فولادی	زیر بنای سازه های بتنه	زیر بنای سازه های پتانی
۱	۱۴۳۲۲۵۹۹	۲۵۹۵۷۸	۳۶۰۲۶
۲	۱۵۶۱۰۹۱۳	۳۰۱۸۰۸	۳۱۰۲۰
۳	۲۶۷۵۰۶۷۲	۲۶۲۲۸۸۶	۸۸۳۴۰۲
۴ (تاریخی)	۵۸۷۱۶۹۱	۸۲۷۱۱۷	۱۸۳۳

جدول ۲: جمعیت بر حسب مناطق شهر یزد [۵]

منطقه	جمعیت در سال ۱۳۹۰
۱	۱۸۶۵۳۶
۲	۱۶۹۵۴۱
۳	۱۵۴۹۰۸
۴ (تاریخی)	۴۰۸۷۸



شکل ۱: نقشه گسل‌های استان یزد [۳].

**۲- روش تحقیق**

در این مطالعه از نرم افزار SELENA ver6 [2] استفاده شده است. این نرم افزار بر پایه اصول روش HAZUS [1] نوشته شده است. در این روش منحنی پاسخ بر اساس نوع خاک و استاندارد IBC-2006 [6] بدست آمده و اثر میرابی انواع سازه ها با روش ذکر شده در FEMA 440[7] اعمال می گردد. سازه ها با انواع و کاربری های مختلف تقسیم شده اند و اطلاعات هر منطقه از داده ها و سرشماری های سال ۱۳۹۰ مرکز آمار ایران و نقشه GIS شهر یزد [8] بدست آمده است. روش استفاده شده برای تحلیل خطر پذیری در این مطالعه مطابق استاندارد روز بوده، با این تفاوت که بدلیل عدم وجود داده در مورد اجزای غیرسازه ای صرفاً تلفات و خسارات ناشی از اجزای سازه ای محاسبه شده است.

**۳- معرفی سازه ها**

در جدول ۳، ۱۷ نوع سازه وجود دارد که از ۳۶ نوع سازه موجود در HAZUS با توجه به اطلاعات دریافتی برای شهر یزد انتخاب شده اند.

جدول ۳: انواع سازه های موجود در HAZUS برای شهر یزد [۱]

ارتفاع					ردیف	بر جسب
میانگین	محدوده	توضیحات				
ارتفاع	طبقات	نوع	طبقات	میانگین		
۷,۲	۲	۱-۳	کوتاه	سازه های فولادی قاب خمی ۱ تا ۳ طبقه	S1L	۱
۱۸	۵	۴-۸	متوسط	سازه های فولادی قاب خمی ۴ تا ۸ طبقه	S1M	۲
۴۶,۸	۱۳	+۸	بلند	سازه های فولادی قاب خمی بیش از ۸ طبقه	S1H	۳
۷,۲	۲	۱-۳	کوتاه	سازه های فولادی بادبندی ۱ تا ۳ طبقه	S2L	۴
۱۸	۵	۴-۸	متوسط	سازه های فولادی بادبندی ۴ تا ۸ طبقه	S2M	۵
۴۶,۸	۱۳	+۸	بلند	سازه های فولادی بادبندی بیش از ۸ طبقه	S2H	۶
۷,۲	۲	۱-۳	کوتاه	سازه های فولادی با دیوار پرشی ۱ تا ۳ طبقه	S4L	۷
۱۸	۵	۴-۸	متوسط	سازه های فولادی با دیوار پرشی ۴ تا ۸ طبقه	S4M	۸
۴۶,۸	۱۳	+۸	بلند	سازه های فولادی با دیوار پرشی بیش از ۸ طبقه	S4H	۹
۷,۲	۲	۱-۳	کوتاه	سازه های بتنی قاب خمی ۱ تا ۳ طبقه	C1L	۱۰
۱۸	۵	۴-۸	متوسط	سازه های بتنی قاب خمی ۴ تا ۸ طبقه	C1M	۱۱
۴۶,۸	۱۳	+۸	بلند	سازه های بتنی قاب خمی بیش از ۸ طبقه	C1H	۱۲
۷,۲	۲	۱-۳	کوتاه	سازه های بتنی با دیوار پرشی ۱ تا ۳ طبقه	C2L	۱۳
۱۸	۵	۴-۸	متوسط	سازه های بتنی با دیوار پرشی ۴ تا ۸ طبقه	C2M	۱۴
۴۶,۸	۱۳	+۸	بلند	سازه های بتنی با دیوار پرشی بیش از ۸ طبقه	C2H	۱۵
۴,۵	۱	۱-۲	کوتاه	سازه های بنایی کوتاه	URML	۱۶
۱۰,۵	۳	+۳	متوسط	سازه های بنایی متوسط	URMM	۱۷

#### ۴- معرفی انواع کاربری ها

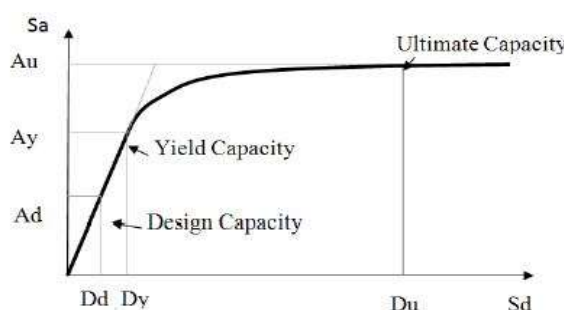
تلفات جانی و خسارت اقتصادی با توجه به کاربری سازه ها متفاوت است. در این مطالعه ۶ نوع کاربری عمدۀ سازه ها در یزد به شرح زیر در نظر گرفته شده است: مسکونی (RES)، تجاری (COM1)، بهداشتی (COM6)، خدماتی (COM3)، اداری (GOV) و آموزشی (EDU).

در تعیین نوع خاک از روش طیف پاسخ استاندارد براساس آیین نامه [6] IBC-2006 استفاده گردیده است. در این روش حرکت زمین با استفاده از شکل طیف پاسخ استاندارد شده که در IBC ارائه شده به چهار قسمت تقسیم می‌گردد، همچنین در این طیف نیاز به محاسبه شتاب در دو پریود زمانی ۰,۱ ثانیه و ۰,۳ ثانیه می‌باشد.

$$\begin{aligned}
 Sa(T) &= Sa_{0.3} \left( 0.4 + \frac{T}{T_A} \right) & T < T_A \\
 Sa(T) &= Sa_{0.3} & T_A < T < T_{AV} \\
 Sa(T) &= \frac{Sa_{1.0}}{T} & T_{AV} < T < T_{VD} \\
 Sa(T) &= \frac{Sa_{1.0} T_{VD}}{T^2} & T_{VD} < T < 10 \text{ s}
 \end{aligned} \tag{1}$$

در حال حاضر اغلب سازه ها جهت سهولت به جای روش های غیرخطی به صورت الاستیک خطی طراحی و ارزیابی می‌شوند. برای طراحی سازه در حالت الاستیک پاسخ های با ۵ درصد میرایی توسط ضریب کاهنده  $R$  کاهش داده می‌شوند. که این ضریب با توجه به سازه های مختلف متفاوت است. ضرایب کاهنده با توجه به تجربه، قضاوت مهندسی، توانایی تغییر شکل غیرالاستیک (شکل پذیری) سیستم سازه‌ای، اضافه مقاومت، میرایی بیش از ۵ درصد در تغییر شکل های زیاد و پارامترهای دیگر که در ظرفیت سازه موثر هستند، بدست می‌آید. اگر چه این روش که بر پایه نیرو قرارداد از لحظه تحلیل مهندسی معقول به نظر نمی‌رسد، با این وجود سازه های طراحی شده به این شکل در سال های اخیر در اثر زلزله های اتفاق افتاده، پاسخ های قابل قبولی از خود نشان داده اند. منحنی ظرفیت سازه یک ابزار دقیق ساده و منطقی برای پیش‌بینی پاسخ (جابجایی) غیرخطی سازه جهت تعیین آسیب می‌باشد. منحنی ظرفیت سازه (pushover curve) یک نمودار از بارگذاری واردۀ به سازه (مثلاً سقف آخر) را نشان میدهد. نمودار ظرفیت سازه سه نقطه کنترل دارد که عبارتند از: ظرفیت طراحی- ظرفیت تسلیم- ظرفیت نهایی (شکل ۲).

ظرفیت طراحی بیان کننده مقاومت اسمی سازه می‌باشد که توسط آیین نامه تعریف شده است. ظرفیت تسلیم نشان دهنده مقاومت جانی واقعی سازه با لحظه کاهش نیرو در طراحی، ملاحظات آیین نامه و مقاومت واقعی مصالح می‌باشد و ظرفیت نهایی مشخص کننده بیشترین مقاومت سازه در زمانی که سازه به حالت خمیری کامل می‌رسد می‌باشد.



شکل ۲: منحنی ظرفیت سازه [۱].

پارامترهای منحنی ظرفیت براساس جداول های HAZUS<sup>1</sup> برای سازه های فولادی و بتنی براساس سطوح طراحی متوسط<sup>2</sup> و برای سازه های بنایی براساس سطوح طراحی پایین<sup>3</sup> استفاده شده است. برای بدست آوردن عملکرد سازه از روش طیف ظرفیت اصلاح شده<sup>4</sup> استفاده گردید.

جدول ۴ : پارامترهای منحنی ظرفیت برای سطح طراحی [۱] Moderate Code

Ultimate Capacity Point		Yield Capacity Point		Building Type
Au (g)	Du (in)	Ay(g)	Dy(in)	
0.375	5.5	0.125	0.31	S1L
0.234	10.65	0.078	0.89	S1M
0.147	20.96	0.049	2.33	S1H
0.4	3.76	0.2	0.31	S2L
0.333	9.7	0.167	1.21	S2M
0.254	23.24	0.127	3.87	S2H
0.36	2.09	0.16	0.19	S4L
0.3	4.91	0.133	0.05	S4M
0.228	11.76	0.102	1.74	S4H
0.357	3.52	0.125	0.2	C1L
0.312	7.91	0.104	0.58	C1M
0.147	9.05	0.049	1.01	C1H
0.5	3.6	0.2	0.24	C2L
0.417	5.19	0.67	0.52	C2M
0.317	11.02	0.1227	1.47	C2H
		URML		
		URMM		

تابع آسیب به صورت منحنی شکنندگی نیمه لگاریتمی به صورت شکل ۳ تعریف گردیده است که باعث گردیده تا سطوح آسیب در چهار سطح آسیب خفیف، متوسط، گسترده و کامل تعریف گردد. پارامترهای منحنی شکنندگی براساس جداول HAZUS برای سازه های مختلف در نظر گرفته شده است.

هر زلزله علاوه بر تلفات جانی، خسارات های مالی و اقتصادی نیز در بردارد که این خسارات از آسیب های مستقیم و مشخص شروع و تا چندین سال ممکن است ادامه داشته باشد. خسارات می تواند شامل آسیب به سازه، آسیب به اجزای غیر سازه ای، آسیب دیدن لوازم درون ساختمان (که این موارد در مکان های عمومی مانند بیمارستان ها و مراکز صنعتی بسیار مورد توجه است)، آسیب دیدن راه ها، بندرگاه ها و فرودگاه ها و سایر مناطقی که آسیب به آنها باعث از بین رفتن رونق اقتصادی و تجاری می گردد باشد. خسارات اقتصادی براساس نوع آسیب وارد و یا در مواردی جایگزینی ساختمان براساس پول ملی ایران (ریال) محاسبه گردیده است.

1- HAZUS is a geographic information system-based natural hazard developed and freely distributed by the Federal Emergency Management Agency (FEMA)

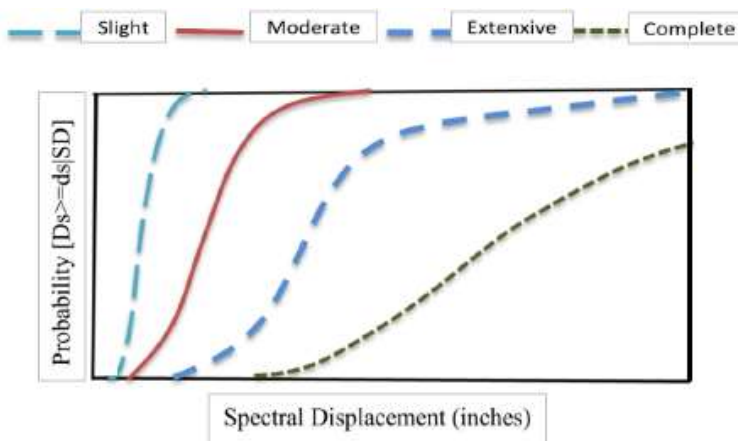
2- Moderate Code

3- Low Code

4- (MARS) Modified Acceleration Response Spectrum

جدول ۵: پارامترهای منحنی ظرفیت برای سطح طراحی [1] Low Code

Building Type	Dy(in)	Ay(g)	Du (in)	Au (g)	Ultimate Capacity Point
S1L	.15	.062	2.29	.187	
S1M	.44	.039	4.44	.117	
S1H	1.16	.024	8.73	.073	
S2L	.16	.1	1.07	.2	
S2M	.61	.083	4.04	.167	
S2H	1.94	.063	9.78	.127	
S4L	.1	.08	1.08	.18	
S4M	.27	.067	2.05	.15	
S4H	.87	.051	4.9	.114	
C1L	.1	.062	1.47	.187	
C1M	.29	.052	2.88	.156	
C1H	.5	.024	3.77	.073	
C2L	.12	.1	1.0	.25	
C2M	.26	.083	2.16	.208	
C2H	.74	.063	4.09	.159	
URML	.24	.2	2.4	.4	
URMM	.27	.111	1.81	.222	



شکل ۲: نمونه یک منحنی شکنندگی [1].

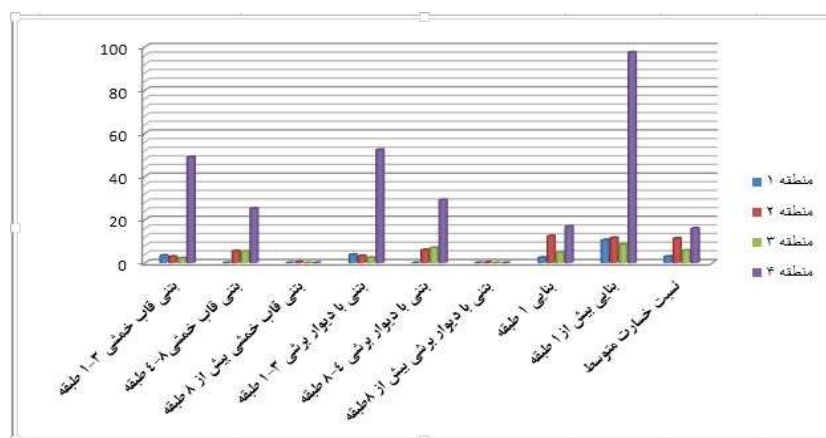
ارزیابی تلفات براساس خسارت وارد بر سازه محاسبه می‌گردد، که در زلزله‌های با شدت کمتر تلفات غیرسازه‌ای تعیین کننده هستند و در زلزله‌های با شدت بیشتر تلفات سازه‌ای سهم عمده‌ای از تلفات را بر عهده دارند. آسیب‌ها و جراحات واردہ در این قسمت به چهار دسته تقسیم‌بندی می‌شود: جراحت سطح ۱ (خفیف)، سطح ۲ (متوسط)، سطح ۳ (شدید) و سطح ۴ (کامل). برای محاسبه و پیش‌بینی میزان خسارات سه زمان در نظر گرفته شده است که این زمان‌ها عبارتند از: ساعت ۲ بامداد که اکثر مردم در این زمان در منزل می‌باشند، ساعت ۱۰ صبح که اکثر مردم در محل کار، دانشگاه و یا مدرسه می‌باشند و ساعت ۱۷ بعدازظهر که در این زمان اکثریت مردم محل کار خود را ترک کرده و در مسیر برگشت یا محل سکونت می‌باشند (جدول ۶).

تحلیل خطرپذیری لرزه ای دارای خروجی ها و نتایج متنوعی می باشد، تنوع بسیار زیاد نتایج و همچنین وجود سازه های مختلف با کاربری های متنوع اغلب باعث می شود که مقایسه مناطق آسیب دیده با مشکل رو برو گردد. لذا نسبتی تعریف شده که نسبت خسارت متوسط نامیده شده است. با این نسبت خسارات واردہ به نوع سازه، مناطق مختلف و شهرهای مختلف قابل مقایسه می باشند. روش تحلیلی این نرم افزار به سه صورت: آنالیز قطعی<sup>۲</sup>، آنالیز احتمالاتی<sup>۳</sup> و آنالیز با داده های واقعی<sup>۴</sup> می باشد.

نرم افزار سلتا پس از تحلیل اطلاعات ورودی، خروجی هایی در هشت مجموعه ارائه می دهد که عبارتند از: نسبت خسارت متوسط، میزان خسارت مالی، تلفات جانی در سه بازه زمانی ذکر شده، درصد و احتمال آسیب پذیری سازه ها، زیرینای آسیب دیده بر حسب نوع آسیب. شکلها<sup>۴</sup>-۷ جوابهای آنالیز را نمایش می دهند.

جدول ۶: توزیع جمعیت در محل مورد مطالعه در زمان های مختلف طبق [۱] HAZUS

Distribution of People in Census Tract			
Occupancy	2 : 00 a.m.	10:00 a.m.	5:00 p.m.
Indoors			
Residential	(0.999)0.99(NRES)	(0.7)0.75(DRES)	(0.7)0.5(NRES)
Commercial	(0.999)0.02(COMW)	(0.999)0.98(COMW)+ (0.8)0.20(DRES)+ 0.8(Hotel)+ 0.8(Visit)	0.98[0.50(COMW)+ 0.1(NRES)+ 0.70(HOTEL)]
Educational		(0.90)0.80(GRAD)+ 0.8(COLLEGE)	(0.8)0.5(COLEGE)
Industrial	(0.999)0.1(INDW)	(0.90)0.80(INDW)	(0.90)0.50(INDW)
Hotels	0.999(HOTEL)	0.19(HOTEL)	0.299(HOTEL)
Outdoors			
Residential	(0.001)0.99(NRES)	(0.30)0.75(DRES)	(0.30)0.50(NRES)
Commercial	(0.001)0.02(COMW)	(0.01)0.98(COMW)+ (0.20)0.20(DRES)+ (0.20)(VISIT) + 0.50(1-PRFL)0.05(pop)	0.02[0.50(COMW)+ 0.1(NRES)+ 0.70(HOTEL)+ 0.5(1-PRFL) [0.05(POP)-1.0(COMM)]
Educational		(0.10)0.80(GRADE)+ 0.20(COLLEGE)	(0.20)0.50(COLLEGE)
Industrial	(0.001)0.10(INDW)	(0.1)0.80(INDW)	(0.1)0.50(INDW)
Hotels	0.001(Hotel)	0.01(HOTEL)	0.001(HOTEL)

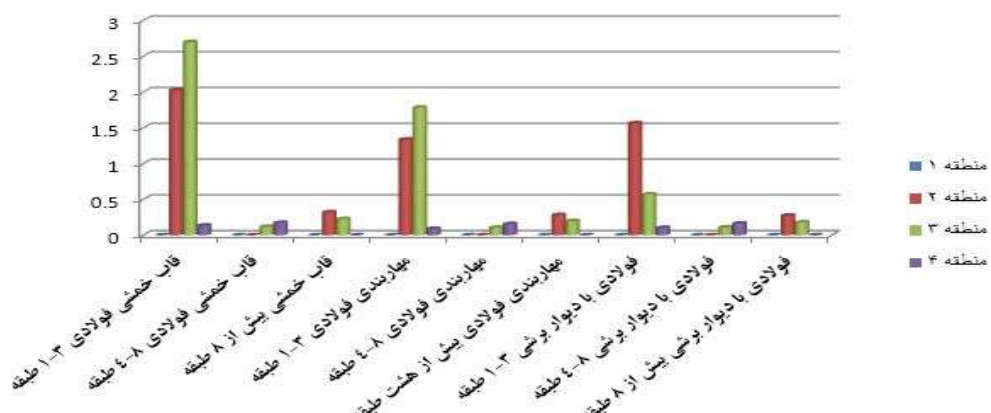


شکل ۴: نسبت خسارت متوسط به سازه های بتی و بنایی.

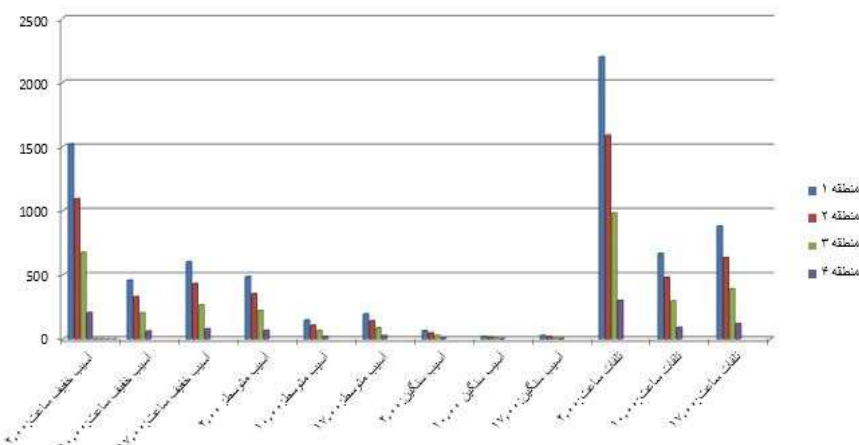
2- Deterministic analysis

3- Probabilistic analysis

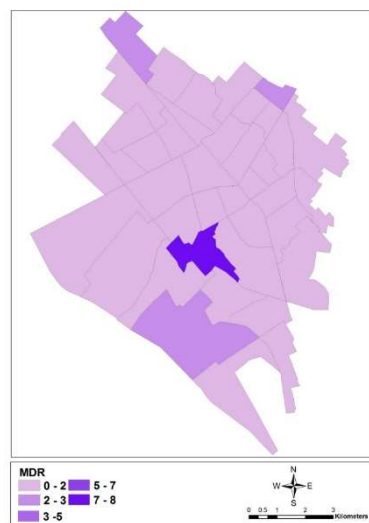
4- Analysis with real time data



شکل ۵: نسبت خسارت متوسط به سازه های فولادی.



شکل ۶: آسیب جانی ایجاد شده براساس زلزله طرح استاندارد ۲۸۰۰.



شکل ۷: نسبت خسارت متوسط براساس زلزله استاندارد ۲۸۰۰.

## ۵- نتیجه گیری

- ۱- براساس اطلاعات اولیه بیشترین زیربنای سازه های موجود در شهر یزد از جنس بنایی و پس از آن بتنی و فولادی می باشد که با توجه به رده بندی مقاومتی سازه ها کمترین قدرت مقاومت در برابر زلزله را سازه های بنایی دارا می باشند. با توجه به این بحث لزوم بازنگری و مقاوم سازی در طراحی های شهر یزد بسیار حائز اهمیت می باشد.
- ۲- منطقه چهار شهر یزد با توجه به سازه های متراکم تاریخی، بنایی، خشت و گل آسیب پذیر می باشد. مناطق یک و دو شهر یزد با توجه به وجود بیش از ۶۴٪ جمعیت شهر در این نواحی بیشترین تلفات در ساعت مختلف شباهه روز را دارا می باشند.
- ۳- خسارات اقتصادی تحلیل خطرپذیری لرزه ای احتمالاتی شهر یزد نشان دهنده آنست که بیشترین میزان خسارات مربوط به منطقه سه شهر یزد می باشد که رقمی در حدود ۴۳٪ از کل را شامل می گردد که بدلیل گسترش این ناحیه از نظر مساحت و تراکم سازه های منطقی به نظر می رسد.

در این مطالعه فقط آسیب های سازه های و جانی در هنگام رخداد زلزله مورد بررسی قرار گرفته، لذا تلفات جانی به دلایلی از قبیل عدم آموزش صحیح در اقدامات بعد از رویداد زلزله، عدم امکان امداد رسانی به موقع و ... به مراتب بیشتر از این مقادیر خواهد بود.

## مراجع

- [1] Multi-hazard Loss Estimation Methodology, Technical manual, Federal Emergency Management Agency, Washington DC, USA. (2003)
- [2] Sergio Molina, Dominik H. Lang, Conrad D. Lindholm, Fredrik Lingvall, and Emrah Erduran, June 28, 2012, Manual for the Earthquake Loss Estimation, Tool: SELENA v6.0
- [۳] نقشه گسلهای فعال ایران، حسامی و همکاران، پژوهشگاه بین المللی زلزله شناسی و مهندسی زلزله، ۱۳۸۲.
- [۴] آمار سازه های بنایی شهر یزد، سازمان آمار و فناوری اطلاعات شهرداری شهر یزد، ۱۳۹۰.
- [۵] نتایج سرشماری جمعیت و مسکن، مرکز آمار ایران، ۱۳۹۰.
- [6] International Building Code (IBC-2006). Technical report, International Code Council, United States, January (2006)
- [7] Improvement of nonlinear static seismic analysis procedures. FEMA-440, Technical report, Applied Technology Council (ATC), California, USA, (2005)
- [۸] اداره مسکن و شهرسازی استان یزد، نقشه GIS شهر، ۱۳۹۰.
- [۹] آینه نامه طراحی ساختمانها در برابر زلزله استاندارد ۲۸۰۰، ویرایش سوم، مرکز تحقیقات و ساختمان و مسکن، ۱۳۸۴.